

# НАУЧНО-ТЕХНИЧЕСКИЕ ПРОБЛЕМЫ ГОРЕНИЯ И ВЗРЫВА

№ 1

1965

*M. И. Воротникова,  
B. K. Кедринский, P. И. Солоухин  
(Новосибирск)*

## УДАРНАЯ ТРУБКА ДЛЯ ИССЛЕДОВАНИЯ ОДНОМЕРНЫХ ВОЛН В ЖИДКОСТИ

Основным источником получения ударных волн и волн конечной амплитуды в жидкости служит сейчас детонация зарядов ВВ. Но этот способ малодоступен для лабораторных исследований, кривая давление — время для волны имеет обычно быстрый спад, а амплитуда давления резко падает с удалением от места взрыва. Попытки использования ВВ в лабораторных условиях для получения ударных волн в конических камерах [1], по существу, не снимают указанных выше ограничений. Применение же для жидкостей [2] диафрагменной ударной трубы, широко распространенной при исследованиях в газах, также не совсем удачно из-за ограничений в амплитуде давления получаемых волн (см. ниже) и трудностей получения волн с постоянным давлением за фронтом и с регулируемой длительностью импульса давления.

В данной статье описывается метод получения ударных волн, основанный на столкновении движущегося столба с закрытым концом трубы или с покоящейся массой жидкости. Проведенные опыты показали, что этот метод позволяет получить ударные волны с мало меняющимся давлением за фронтом  $\sim 10^2 - 10^4$  atm и с регулируемой длительностью волны  $\sim 10^{-4} - 10^{-3}$  сек.

### ГАЗОДИНАМИЧЕСКИЙ РАСЧЕТ ПРОЦЕССА В ВОДЕ

Будем использовать данные об уравнении состояния воды, приведенные в [3, 4]. Для давлений не более 25000 atm уравнение состояния записывается в форме

$$\frac{\rho}{\rho_1} = \left( \frac{\bar{p}}{\bar{p}_1} \right)^{1/n} = \left( \frac{a}{a_1} \right)^{\frac{2}{n-1}}, \quad (1)$$

где  $\bar{p} = p + B$  ( $B = 3010$  atm),  $n = 7,15$ ;  $a$  — скорость звука. Условия на фронте ударной волны в воде будут иметь следующий вид ( $u$  — скорость частиц):

$$\rho_1 D = \rho (D - u), \quad (2)$$

$$\rho_1 D u = \bar{p} - \bar{p}_1, \quad (3)$$

а для простых волн

$$\Delta u = \frac{2a_4}{n-1} \left[ 1 - \left( \frac{p}{p_4} \right)^{\frac{n-1}{2n}} \right]. \quad (4)$$

Пользуясь этими соотношениями, найдем последовательно параметры ударных волн, полученных в различных условиях.

**А. Распад произвольного разрыва в диафрагменной трубе типа вода — вода.** Обозначения: 1 — начальное состояние, 1—2 — переход в ударной волне, 2—3 — на контактной поверхности, 3—4 — в волне разрежения. Из (1)–(4) имеем

$$\begin{aligned} \lg p_4 = \lg p_2 - \frac{2n}{n-1} \lg \left\{ 1 - \frac{n-1}{2} \frac{a_1}{a_4} \times \right. \\ \left. \times \sqrt{\left[ 1 - \left( \frac{\bar{p}_1}{\bar{p}_2} \right)^{1/n} \right] \frac{(p_2 - p_1)}{n(p_1 + B)}} \right\}, \end{aligned} \quad (5)$$

с асимптотическими значениями при  $p_4 \rightarrow \infty$ , определяемыми равенством

$$\frac{p_2}{B} \left[ 1 - \left( \frac{B}{p_2 + B} \right)^{1/n} \right] = \frac{4n}{(n-1)^2}. \quad (6)$$

**Б. Распад произвольного разрыва в системе газ — вода.** Считая показатель адиабаты газа  $\gamma$  неизменным, получаем соотношение (см. [2])

$$\begin{aligned} \lg p_4 = \lg p_2 - \frac{2\gamma}{\gamma-1} \lg \left\{ 1 - \frac{\gamma-1}{2} \cdot \frac{a_1}{a_4} \times \right. \\ \left. \times \sqrt{\left[ 1 - \left( \frac{\bar{p}_1}{\bar{p}_2} \right)^{1/n} \right] \frac{(p_2 - p_1)}{n(p_1 + B)}} \right\} \end{aligned} \quad (7)$$

с асимптотическим условием ( $p_4 \rightarrow \infty$ )

$$\frac{p_2}{B} \left[ 1 - \left( \frac{B}{p_2 + B} \right)^{1/n} \right] = n \left[ \frac{2a_4}{(\gamma-1)a_1} \right]^2. \quad (8)$$

	$p_2$ , атм	$D$ , м сек	$u$ , м сек	$\frac{\rho_2}{\rho_1}$	$\frac{a_2}{a_1}$	$M = \frac{D}{a_1}$
A	11 550	2400	480	1,25	1,76	1,6
Б	80 000	4670	1710	1,58	4,1	3,11

В таблице приведены асимптотические параметры для волн в случаях А и Б. Графические зависимости  $p_2$  от  $p_4$ , соответствующие (5) и (7), показаны на рис. 1.

**В. Удар о стенку.** Скачок давления во фронте волны, получаемой при ударе столба воды в трубке со скоростью  $u$  о неподвижную жесткую стенку, определяется из законов сохранения (2—3):

$$p_1 u^2 = (p_2 - p_1) \left[ 1 - \left( \frac{\bar{p}_1}{\bar{p}_2} \right)^{1/n} \right]. \quad (9)$$

На рис. 2 найденная по этой формуле точная зависимость давления в волне от скорости для воды сравнивается с приближенной акустической формулой

$$\Delta p = p_1 u a_1. \quad (10)$$

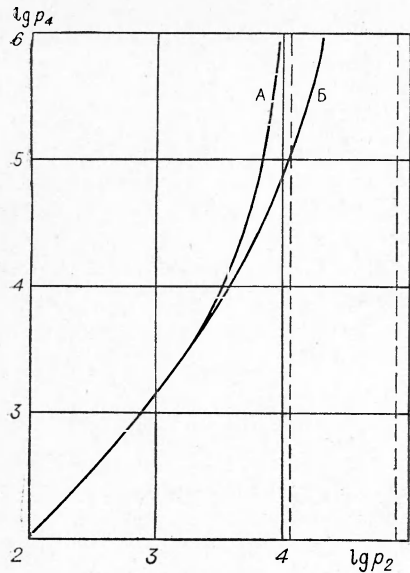


Рис. 1. Расчетная зависимость давления ударной волны в воде от начального перепада давления на диафрагме:  
A — вода — вода; B — воздух — вода.

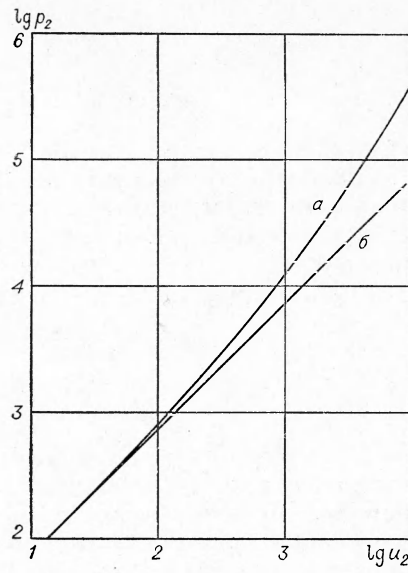


Рис. 2. Давление в волне в зависимости от скорости столба жидкости при ударе о закрытый конец трубы:  
а — по соотношениям на разрыве; б — акустическое приближение.

**Г. Удар жидкость — жидкость.** В этом случае состояние 1 относим к неподвижной среде, а состояние 4 — к движущейся. Если считать, что после столкновения ударные волны будут распространяться в обе стороны, то совместное решение соотношений на двух разрывах приводит к следующей системе:

$$p_2 - p_1 = \rho_1 \frac{u^2}{1 - \rho_1/\rho_2}, \quad p_3 - p_4 = \rho_4 \frac{(u_4 - u)^2}{1 - \rho_4/\rho_2}. \quad (11)$$

В простейшем случае вода — вода и  $p_1 = p_4$ ,  $u = \frac{u_4}{2}$ . На графике

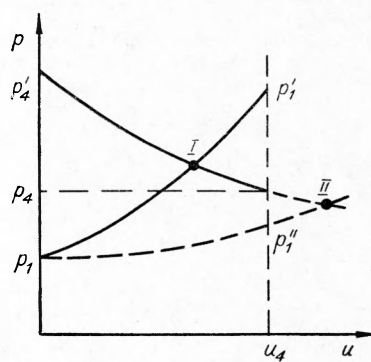
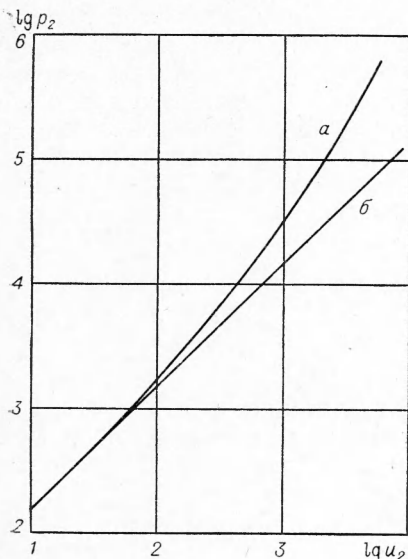


Рис. 4. Диаграмма процесса столкновения двух масс жидкости в плоскости ( $p$  —  $u$ ).

Рис. 3. Давление в волне при ударе вода — вода:  
а — по соотношениям на разрыве;  
б — акустическое приближение.

рис. 3 зависимость  $\Delta p$  от  $u_4$  сравнивается с акустической формулой

$$\Delta p = \frac{u_4}{\frac{1}{\rho_1 a_1} + \frac{1}{\rho_4 a_4}}. \quad (12)$$

Нужно заметить, что в общем случае столкновения двух масс жидкости с различными начальными давлениями и разными акустическими свойствами могут встретиться случаи, когда одна из расходящихся волн будет простой (рис. 4). В случае II, например, по жидкости 4 будет распространяться волна разрежения. Очевидно, критерием реализации случая I будет следующее условие (см. (11)):

$$p'_1 = p_1 + \frac{\rho_1 u_4^2}{1 - (\bar{p}_1/\bar{p}'_1)^{1/n}} < p_4. \quad (13)$$

Проведенные оценки показывают, что в случае В и Г простыми средствами ( $p$  газа = 10—100 atm) можно получить ударные волны с давлением  $\Delta p > 10^4$  atm, не пользуясь устройствами высокого давления, необходимыми в установках типа А и Б. Кроме того, меняя длину столба жидкости, можно задавать необходимую длительность сжатого состояния жидкости  $\Delta t \approx 2L/a_1$  до прихода волны, отраженной от конца столба с обратным скачком давления.

### СХЕМА УСТАНОВКИ

Принципиальная схема установки показана на рис. 5. Канал трубы длиной 1—2 м с внутренним диаметром 3 см устанавливается вертикально, его верхняя часть закрыта торцевой стенкой (режим В) или диафрагмой, отделяющей заполненное жидкостью продолжение канала (режим Г).

Нижняя часть канала заполнена жидкостью, закрыта герметичным легким поршнем и отделена от баллона с газом высокого давления (10—100 atm) второй диафрагмой. Воздух из этой секции откачивается. В опытах с визуальными наблюдениями секция вблизи торца изготавливается из плексигласа и заключается в стальную обойму с узкими продольными щелями для подсветки и получения разверток процесса. В боковой стенке канала имеются вводы для пьезодатчиков

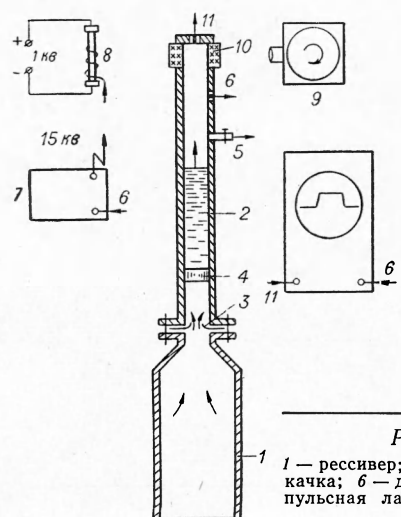


Рис. 5. Принципиальная схема установки:

1 — рессивер; 2 — канал трубы; 3 — диафрагма; 4 — поршень; 5 — оточка; 6 — датчик запуска; 7 — импульсный трансформатор; 8 — импульсная лампа; 9 — фоторегистр; 10 — прозрачная секция; 11 — датчик давления.

давления и для контактных электрических датчиков синхронизации процесса с разверткой осциллографа и с запуском осветительной импульсной лампы. Предусмотрено также измерение давления и другие измерения в торцевой стенке трубы.

На кинокадрах рис. 6 показано несколько типичных случаев полета столба жидкости в аналогичной установке с квадратным сечением канала и с прозрачными стенками. Случай *a* иллюстрирует необходимость введения поршня в установку: без поршня происходит прорыв в ускоряемый объем жидкости пузыря газа высокого давления. Случай *b* — нормальное протекание процесса, а в случае *c* незначительная неровность внутренней поверхности стенки канала (она видна на кадрах) приводит к образованию каверны и к сильному возмущению поверхности столба жидкости. В качестве иллюстрации работы установки на рис. 7, *a* приведена типичная развертка движения границы столба жидкости (зачерненная вода) и запись давления в торце трубы турмалиновым пьезодатчиком. Для сравнения там же приведена осциллограмма давления в торце, полученная на той же установке для волны, созданной обычным разрывом диафрагмы (воздух — вода). Из этих записей видно, что описанная аппаратура решает задачу получения ударной волны с медленно меняющимся давлением за фронтом и с регулируемой длительностью положительной фазы давления.

## РЕГИСТРИРУЮЩАЯ АППАРАТУРА

Основные требования, предъявляемые к методике измерения давления в данной установке, сводятся к отысканию принципа работы и конструкции датчика давления, способного выдерживать нагрузки более  $10^4$  atm, иметь низкий уровень собственных колебаний, обладать малыми размерами и обеспечивать точное воспроизведение во времени быстрых ( $\sim 10^{-6}$  сек) изменений давления в течение относительно большого интервала записи ( $\sim 10^{-3}$  сек). Ниже приводится краткое описание некоторых действующих конструкций датчиков и образцы записей давления этими датчиками.

**Пьезоэлектрические датчики.** В пьезоэлектрических датчиках в качестве чувствительного элемента использовался турмалин или титанат бария. Кристалл турмалина размером  $2 \cdot 2 \cdot 0,3$  mm<sup>3</sup>, подпаянный к концу кабеля, слегка выступающего из торцевой пластины, заливался эпоксидной смолой. Пластина титаната бария Ø 6 mm, толщиной 1 mm прижималась к дну латунного торца, имеющего в центре цилиндрическую выемку.

На рис. 8, *b* показана осциллограмма давления, записанная турмалиновым датчиком в случае, когда столб воды ударяется о покоящуюся воду. Заметно более плавное нарастание давления в этом случае по сравнению с волной в падающем потоке (рис. 8, *a*). Рис. 8, *c* — запись датчиком из титаната бария.

Кроме торцевых применялись также и объемные датчики, вынесенные в покоящийся столб воды на 25 mm от торца. Такой датчик был выполнен на основе турмалинового кристалла ( $1 \cdot 1 \cdot 0,2$  mm<sup>3</sup>), залитого смолой на конце медицинской иглы, внутри которой проходил изолированный электрод (рис. 9). Соответствующая осциллограмма давления показана на рис. 8, *g*.

**Изменение проводимости жидкости.** По прочностным свойствам турмалин и титанат бария не могут быть многократно использованы для записи волн давления амплитуды  $10^3$ — $10^4$  atm. Поэтому для регистрации давления в этом диапазоне необходимы поиски либо датчиков из других, более прочных материалов, либо новых принципов записи. Вообще говоря, можно, например, использовать зависимость от давления электрического сопротивления однородной проводящей среды. В соот-

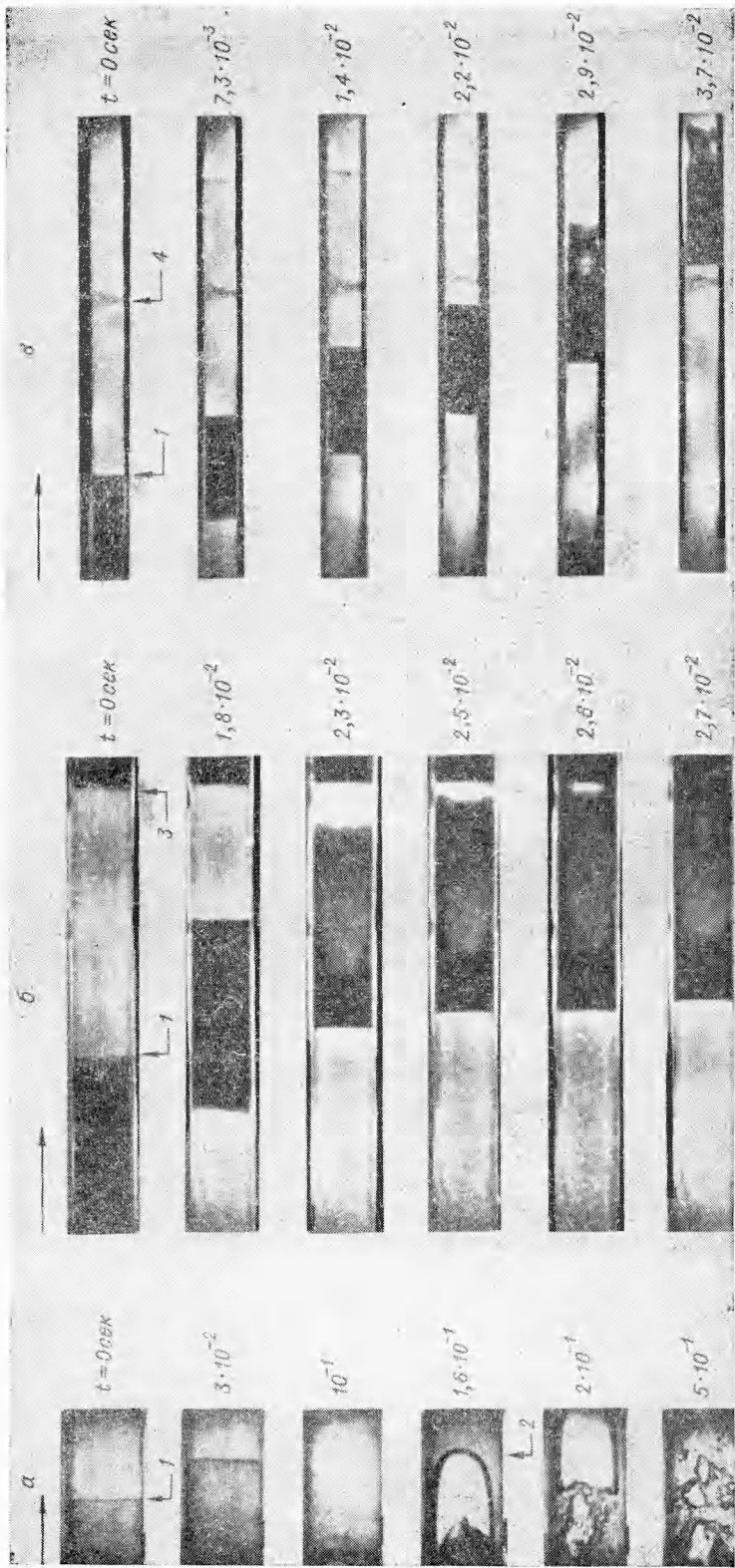


Рис. 6. Движение столба жидкости в трубке квадратного сечения:  
 $a$  — без поршня;  $b$  — типичный случай;  $v$  — влияние возмущения в канале;  
 $I$  — поверхность воды;  $2$  — типичный пузырь;  $3$  — газовый пузырь;  $4$  — возмущение поверхности канала.

вествии с известной «задачей о заземлении» сопротивление среды между двумя оболочками произвольной формы равно  $\frac{\rho}{4\pi C}$ , где  $\rho$  — удельное сопротивление среды, а  $C$  — электроемкость этой системы электродов. Измеряя  $\rho$  в течение процесса, можно найти закон изменения давле-

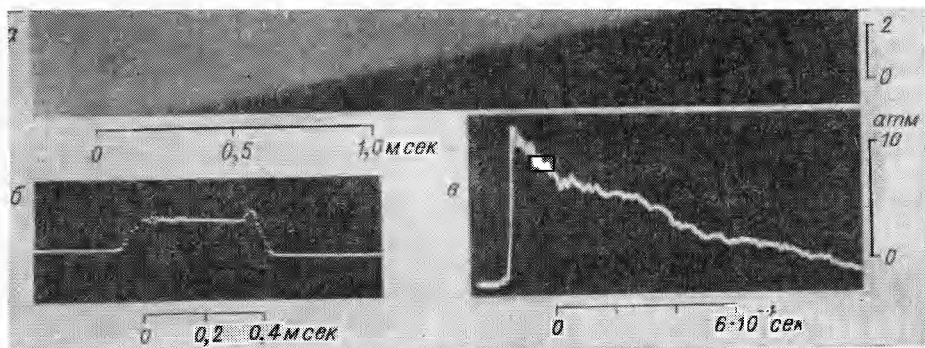


Рис. 7.

*a* — теневая развертка движения передней границы столба (жидкость непрозрачна); осциллограммы давления процесса; *б* — в ударной трубке описываемой конструкции (турмалин,  $p \sim 600$  атм); *в* — диафрагменной ударной трубке (титанат бария,  $p \sim 14$  атм).

ния. Для воды и некоторых электролитов зависимость проводимости от давления изучалась, например, в работе [5].

В наших экспериментах одной проводящей оболочкой была внутренняя поверхность канала трубы, в качестве другой использовался tantalовый шарик  $\varnothing 2$  мм, расположенный на стальном тонком стержне, покрытом тонким изолирующим слоем эпоксидной смолы. Осциллограмма

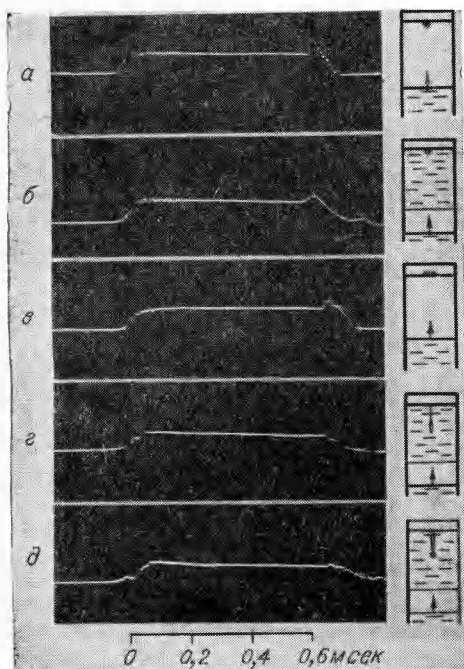


Рис. 9. Конструкция турмалинового датчика давления «игольчатого» типа.

Рис. 8. Осциллограммы процесса, записанные различными датчиками ( $p \sim 350$  атм): *а* — торцевой турмалиновый датчик; *б* — то же, удар вода — вода; *в* — торцевой пьезодатчик; *г* — объемный турмалиновый датчик «игольчатого» типа (см. рис. 9); *д* — изменение электропроводности воды.

изменения сопротивления шарик — трубка показана на рис. 8, д. Из сравнения с осциллограммами давления, записанными пьезодатчиками, видно, что изменение сопротивления воды в волне давления довольно хорошо воспроизводит форму волны по давлению. Недостатком такого способа регистрации являются трудности записи фронта волны, а неоспоримым преимуществом — высокие прочностные свойства используемой системы.

Осциллограммы, приведенные на рис. 8, записаны с помощью двухлучевого осциллографа при выключенном собственной развертке лучей. Развертка процесса во времени осуществлялась вращением пленки (фоторегистр), на которую фокусировались лучи. Осциллограф был связан с электронным реле времени, включающим подсветку лучей на определенный промежуток времени. Заметим, что при линейной скорости вращения пленки  $\sim 100 \text{ м/сек}$  такая система дает возможность равномерной записи процессов длительностью от  $10^{-3}$  до 1 сек с лучшим разрешением деталей процесса во времени, чем на неподвижной пленке фотоаппарата при собственной развертке осциллографа.

**Полупроводниковые датчики.** Были проведены предварительные опыты для выяснения возможности записи давления по изменению сопротивления некоторых полупроводников. В этих опытах «работающими» оказались конструкции датчиков с чувствительными элементами из германия (объемная проводимость или  $p - n$ -переход в германии) и из некоторых органических полупроводников (см. [6]). В качестве примера на рис. 10 показана осциллограмма давления волны в ударной трубке описанной выше конструкции ( $p \sim 600 \text{ atm}$ ,  $\Delta t \sim 600 \text{ мксек}$ ), записанная германиевым датчиком с объемной проводимостью. Конструктивное оформление этого датчика аналогично рис. 8, в.

Отметим здесь также возможность записи давлений более  $10^4 \text{ atm}$  с использованием чувствительности к давлению термопар [7]. Однако при давлениях порядка  $10^2 \text{ atm}$  эффект давления составляет менее 1%, поэтому наши попытки в диапазоне малых давлений к успеху не привели.

Любой из перечисленных датчиков давления может быть тарирован как специальным образом, например по взрыву тротилового заряда известного веса, так и непосредственно в самой трубке по измеренному значению скорости столба воды, тормозящегося у торца. Скорость столба воды может быть определена фотосъемкой (см. рис. 7) или по времени замыкания летящей водой двух изолированных

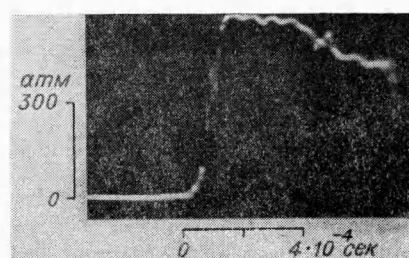


Рис. 10. Осциллограмма давления, записанная германиевым датчиком ( $p \sim 600 \text{ atm}$ ).

электродов, расположенных по вертикали на известном расстоянии.

В связи с большой длительностью регистрируемых процессов ( $\sim 1 \text{ мсек}$ ) особые требования предъявлялись к величине постоянной времени регистрирующей системы. Так, для турмалинового датчика с миллиметровым кристаллом, параллельно с которым включалась емкость  $800 \text{ pF}$ , при входном сопротивлении катодного повторителя  $100 \text{ мгом}$   $RC \sim 0,08 \text{ сек}$ . В этом случае амплитуда прямоугольного импульса длительностью  $10^{-3} \text{ сек}$  в конце будет уменьшена примерно на 1%.

## НЕКОТОРЫЕ ПРИМЕНЕНИЯ МЕТОДА

Диапазон давлений  $10^3$ — $10^4$  атм интересен для жидкостей тем, что внутреннее давление, создаваемое силами межмолекулярного взаимодействия, величина того же порядка. Поэтому предполагается, что описанная выше методика сможет найти полезное применение примерно в следующих областях физико-химического эксперимента:

- определение термохимических постоянных и уравнений состояния жидких сред в условиях высокого давления и термодинамического равновесия;
- изучение неравновесных процессов в жидкостях, вызванных внезапным изменением давления (также и температуры) среды;

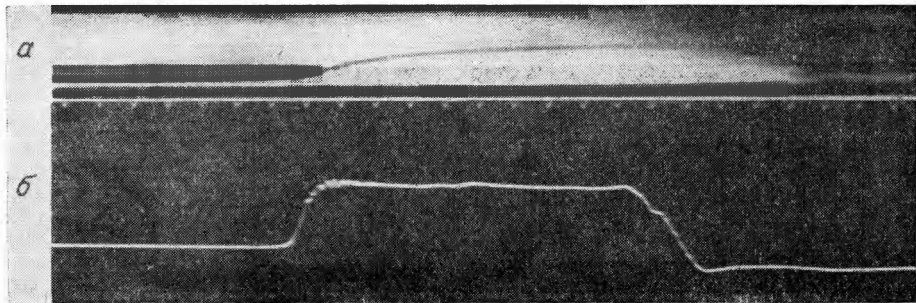


Рис. 11. Теневая развертка пульсаций газового пузырька в объеме жидкости (а), совмещенная во времени с осциллограммой давления процесса (б).

- исследование влияния изменения давления на поверхностные явления в системах жидкость — жидкость или жидкость — твердое тело;
- различные тарировки пьезоэлектрических, оптических и т. п. приборов, предназначенных для изучения состояния жидкостей при различных давлениях;
- изучение поведения механически неравновесных систем (пузырьков и деформируемых тел в жидкости, взвесей и т. п.) в условиях сложных внезапно приложенных нагрузок.

В качестве примера последнего из перечисленных случаев рассмотрим картину поведения газового пузырька, помещенного в жидкость. На рис. 11 в едином масштабе времени показаны осциллограмма давления (удар вода — вода) и теневая развертка движения в жидкости стенки газового пузырька ( $R_0 \sim 0,4$  см). На развертке хорошо видны пульсации пузырька, можно определить время его сжатия до минимального радиуса и величину этого радиуса. Следует отметить, что в этом процессе достигаются весьма высокие температуры и давления газа внутри пузырька. Например, в данном случае при давлении в волне  $\sim 100$  атм расчетное адиабатическое увеличение температуры составляет для газа с  $\gamma = 1,4$  около  $10\,000^\circ$  К, а давление газа в момент максимального сжатия — около 400 тыс. атм. Учет сжимаемости жидкости приведет к снижению температуры до  $3000^\circ$  К, а давления — до 10 000 атм. Эти данные существенно отличаются от «равновесных» для медленного сжатия тем же давлением, когда температура ниже примерно в 10 раз.

Поступила в редакцию  
15/XII 1964

*LITERATURA*

1. *W. S. Filler*. Phys. of Fluids, 1964, **7**, 5.
  2. *I. I. Glass, L. E. Heuckroth*. Phys. of Fluids, 1963, **6**, 4.
  3. *M. H. Rice, I. M. Walsh*. J. Chem. Phys. 1957, **26**, 4.
  4. *P. Коул*. Подводные взрывы. ИЛ, 1950.
  5. *L. H. Adanes, R. E. Hall*. J. Phys. Chem., 1931, **35**, 2145.
  6. *G. A. Samara, H. G. Drickamer*. J. Chem. Phys., 1962, **37**, 3.
  7. Современная техника сверхвысоких давлений. Перевод с англ. под редакцией Е. Г. Понятовского. М., Из-во «Мир». 1964.
-